

# Distributed Audio Processing

Alexander Gustafson  
University of Applied Sciences,  
Zürich,  
Switzerland,  
[alex\\_gustafson@yahoo.de](mailto:alex_gustafson@yahoo.de)

28. Oktober 2015

Dozent: Alexander Herrigel ([alexander.herrigel@gmail.com](mailto:alexander.herrigel@gmail.com))

School of Engineering, Abteilung Zürich  
Studiengang Informatik

# Abstract

In modern profesional music studios, the computer has become responsible for tasks that were previously performed by dedicated hardware. Mixing boards, effect processors, dynamic compressors and equalizers, even the instruments themselves, are all available as software. To alleviate the processing load on the CPU there is a growing market for specialized DSP coprocessors which can process mutliple channels of digital audio in realtime. These coprocessors are typically connected via Firewire or PCIe and use multiple DSP chips for the processing. This project will examine an inexpensive alternative based on standard Gigabit Ethernet and higher end Raspberry Pi clones.

# Inhaltsverzeichnis

<b>1</b>	<b>Introduction</b>	<b>4</b>
1.1	Ausgangslage . . . . .	4
1.2	Ziel der Arbeit . . . . .	5
1.3	Aufgabenstellung . . . . .	5
<b>2</b>	<b>Einführung in die Thematik</b>	<b>6</b>
2.1	Hintergrund . . . . .	6
2.2	Echtzeit-Audio-Plug-ins . . . . .	7
2.3	Audio via Ethernet . . . . .	8
2.4	Single-Board-Computer . . . . .	9
2.5	Virtuelle analoge Synthese . . . . .	9
<b>3</b>	<b>Anforderungsanalyse</b>	<b>12</b>
3.1	Allgemeine Anforderungen . . . . .	12
3.2	Verteilte Datenverarbeitung . . . . .	12
3.3	Audio-Plug-in . . . . .	14
3.4	Externer Rechenknoten . . . . .	15
3.5	Software-Anforderungen . . . . .	15
3.5.1	Evaluierte C++ Frameworks . . . . .	16
<b>4</b>	<b>Implementation</b>	<b>18</b>
4.1	Architecture . . . . .	18
4.1.1	Host CPU . . . . .	19
4.1.2	Vernetzte SBCs . . . . .	20
4.2	Software-Komponenten . . . . .	21
4.2.1	SocketMonitor . . . . .	22
4.2.2	ZeroConfManager . . . . .	22
4.2.3	DiauproMessage . . . . .	23
4.2.4	Diaupro-Prozessor . . . . .	23
4.2.5	DiauproVCOProcessor . . . . .	24
4.2.6	DiauproVCAProcessor . . . . .	25
4.2.7	DiauproPlugin . . . . .	25

<b>5</b>	<b>Schlussfolgerung</b>	<b>27</b>
5.1	Performance-Evaluation . . . . .	27
5.1.1	Synchrone Performance . . . . .	27
5.1.2	Asynchrone Performance . . . . .	29
5.1.3	Mögliche Optimierungen . . . . .	31
5.2	Zusammenfassung . . . . .	31
<b>6</b>	<b>Appendix</b>	<b>34</b>
6.1	Compiling the Source Code . . . . .	34
6.1.1	Download and Build the DiauproPlugin on OSX . . . . .	34
6.1.2	Download and Build the DiauproProject AudioProcessor- Node on Ubuntu . . . . .	34
6.1.3	Install Avahi with Bonjour Compatibility Mode on Ubuntu	35
6.2	Evaluated Frameworks . . . . .	35

# Kapitel 1

## Introduction

### 1.1 Ausgangslage

Im digitalen Audio-Bereich übernimmt die CPU immer mehr Aufgaben, die früher durch spezialisierte Hardware gelöst wurden. Dies beinhaltet nicht nur das Aufnehmen und Abmischen von Tonspuren, sondern auch die Klangerzeugung selbst. In den letzten Jahren stiegen die Erwartungen der User bedeutend schneller als die Entwicklung der CPU-Performance. Von aufwändigen physikalischen Emulationen über Pianos und Gitarren bis hin zu virtuellen Analog-Synthesizern, alles wird mittlerweile erwartet, was schnell zur Folge haben kann, dass die CPU überlastet wird.

Ähnlich wie GPU-Karten, die Grafiken und 3D-Anwendungen beschleunigen, können Audio-DSP-Karten digitales Audio in Echtzeit verarbeiten und dabei die Last auf den CPU-Host-Computer verringern. Audio-DSP-Karten werden in der Regel über PCI, FireWire oder Thunderbolt mit dem Rechner verbunden. Die meisten Anbieter von DSP-Karten bieten die Möglichkeit, mehrere Karten parallel zu verbinden, um die Verarbeitungskapazität zu erhöhen.

Im Gegensatz zu GPU-Prozessoren hat sich jedoch kein offener Standard entwickelt, wie OpenGL oder OpenCL. 3D-Grafikanwendungen gewinnen enorm von der Interoperabilität, die OpenGL bietet. Kein solcher Vorteil existiert für digitale Audio-Anwendungen. Auch im Gegensatz zu OpenGL-Anwendungen, kann Audio-Software, die für eine Audio-DSP-Karte entwickelt wird, nicht auf dem CPU-Host oder auf anderen Audio-DSP-Karten ausgeführt werden. Dies führt zu "Vendor Lock-in". Der Verbraucher, der in eine Audio-DSP-Karte und Software investiert, muss beim gleichen Hersteller bleiben. Wenn ein anderer Anbieter von DSP-Hardware ein überlegenes Produkt herstellt, wird ein Verbraucher kaum die Plattform wechseln, wenn bereits eine Investition gemacht wurde.

Vor 10 Jahren war dies ein akzeptabler Kompromiss, weil über PCIe-verbundene DSP-Prozessoren eine deutliche Leistungssteigerung ermöglichten. Heute könnten jedoch, ARM-basierte kostengünstige CPUs, die über Standard-

Gigabit-Ethernet verbunden sind, eine wettbewerbsfähige Alternative bieten.

## 1.2 Ziel der Arbeit

Ziel dieser Studienarbeit ist es, die Möglichkeiten für die Verteilung von Audio-Verarbeitungsaufgaben für einen Software-basierten Musik-Synthesizer über ein Netzwerk von SBC-Geräten (Single Board Computer) zu untersuchen. Einschränkungen in der Polyphonie oder der Prozessorleistung sollen durch einfaches Hinzufügen eines neuen Geräts im Netzwerk gelöst werden. Ein besonderes Augenmerk soll auf günstige Raspberry-Pi und ähnliche SBC-Geräte gelegt werden, vor allem unter Berücksichtigung von Preis und Leistung. Es existieren viele Standards, damit Audio-Applikationen miteinander kommunizieren können. MIDI und OSC definieren Protokolle zur Steuerung von Audio-Geräten und Software. VST, AU und LW2 sind Standard-Schnittstellen für Plug-ins, die Echtzeitaudioverarbeitung bieten. AVB (IEEE 1722), Jacktrip und Dante sind Standards bzw. Software für die Übertragung von hochwertigem Audio über Ethernet mit minimaler Latenz. Diese Studienarbeit wird einige dieser Standards untersuchen, um zu eruieren, was notwendig ist, um einen skalierbaren und verteilbaren Musik-Synthesizer zu entwickeln, der mit anderer professioneller Audio-Software kompatibel ist. Eine Machbarkeits-Version der verteilbaren Synthesizer-Software wird entwickelt, welche es einem Benutzer erlauben wird, ein Musikstück in Echtzeit zu spielen.

## 1.3 Aufgabenstellung

- Anforderungsanalyse mit Prioritätsbewertung
- Vergleich von mehreren CPUs und Embedded Systems (Banana Pi, Adafruit, Odroid) hinsichtlich ihrer Nutzbarkeit als Echtzeit-Audioverarbeitungsmodule. Mit dem System, das die Anforderungen am besten erfüllt, wird die Implementierung vorgenommen.
- Entwicklung der Audioverarbeitungssoftware in C++.
- Entwicklung eines VST-Plug-ins in C++, das als Schnittstelle zwischen gängiger Audio-Software und den Audioverarbeitungsmodulen (pkt 3) dient.
- Analyse der Implementierung, um die Nützlichkeit und Skalierbarkeit zu bewerten. Es ergeben sich dadurch verschiedene Fragestellungen wie z.B. folgende: Kann die Leistung und Polyphonie durch Hinzufügen weiterer Module erhöht werden, oder wird der Kommunikations-Overhead schließlich zu groß?

## Kapitel 2

# Einführung in die Thematik

### 2.1 Hintergrund

Vor 20 Jahren musste man ins Tonstudio, um eine Musik- oder Audioaufnahme zu bearbeiten. Dort befanden sich große Ständer voller Geräte für verschiedene Signalverarbeitungsaufgaben. Zum Beispiel, Kompressoren und Limiters, um den Dynamikbereich zu verarbeiten, oder Hall- und Echogeräte, um einer Tonspur mehr Umgebung zu geben. Am Mischpult konnte man Lautstärke und Frequenzgang mehreren Tonspuren anpassen.

Heute werden alle diese Aufgaben von Software-Plug-ins auf der CPU berechnet.

1996 hatte Steinberg GmbH, die Entwickler von Cubase, einer populären Audio-Produktionssoftware (oder DAW, Digital Audio Workstation), die VST-Schnittstelle und SDK veröffentlicht [8]. Der VST-Plug-in-Standard war besonders, weil er Echtzeit-Verarbeitung von Audiodaten in der CPU ermöglichte. Dazu konnten andere Entwickler jetzt Plug-ins entwickeln, die innerhalb Cubase ausgeführt werden konnten. Der VST-Plug-in-Standard hatte schnell Akzeptanz in der Branche gefunden und wurde sogar von konkurrierenden DAWs implementiert. Obwohl alternative Standards heute existieren, ist VST immer noch der am meisten verbreitete Crossplatform-Standard.

Die Anzahl der Echtzeit-Plug-ins, die auf einer CPU laufen konnte, wurde durch mehrere Faktoren wie Festplattenzugriffsgeschwindigkeiten, Bus-Geschwindigkeiten, viel RAM und OS-Scheduler zum Beispiel beschränkt [2]. Damalige Benutzer erwarteten nicht, mehr als 10 Plug-ins gleichzeitig laufen lassen zu können. Schon die Wiedergabe mehrerer Spuren ohne Plug-ins konnte einen Rechner ins Stottern bringen.

Heute ist es jedoch möglich, hunderte von Tonspuren und Plug-ins in Echtzeit wiederzugeben. Während die Leistungsgrenze angestiegen ist, stiegen auch die Erwartungen der Benutzer. Die Algorithmen heutiger Plug-ins sind sehr viel komplexer als diejenigen von 1996. Es werden akustische Systeme detailgenau modelliert und die Schaltkreise alter 70er-Jahre-Synthesizer digital emuliert.

Auch wenn die CPU-Leistung sich deutlich erhöht hat, sind die Grenzen schnell erreicht.

Es existieren mehrere DSP-basierte Systeme, die, ähnlich wie GPU-Beschleunigungskarten, die CPU-Lastung mindern. Audio-Verarbeitungsaufgaben werden an externe Hardware via PCIe- oder Thunderbolt-Schnittstellen übertragen. Jedoch sind diese DSP-basierten Systeme geschlossen und teuer. Die Entwicklung von Software für einen DSP-Chip ist auch um einiges komplexer als für einen CPU.

## 2.2 Echtzeit-Audio-Plug-ins

Das Komponieren und Produzieren von Musik erfolgt in der Regel mit Hilfe einer Digital Audio Workstation(DAW-)-Software. MIDI-Events und Audio-Aufnahmen werden als Spuren arrangiert, gemischt, redigiert und verarbeitet. Um Änderungen rückgängig zu machen, werden Bearbeitungen in einem zerstörungsfreien Verfahren gemacht, das dynamisch in Echtzeit während der Wiedergabe berechnet wird. Die ursprünglichen Audiodaten bleiben immer im ursprünglichen Zustand erhalten. Der Benutzer kann die Parameter eines Effektes oder Prozesses in Echtzeit ändern und mit verschiedenen Einstellungen experimentieren, ohne zu fürchten, dass die ursprünglichen Audioaufzeichnungen geändert werden.

Eine DAW-Anwendung hat in der Regel mehrere Echtzeit-Effekte eingebaut, welche ein Benutzer auf Audiospuren einsetzen kann. Zusätzlich zu den eingebauten Effekten sind alle professionellen DAW-Anwendungen auch in der Lage, Dritthersteller-Plug-ins zu laden. In Abhängigkeit von der Plattform und dem Anbieter werden ein oder mehrere Plug-In-Standards implementiert. Steinbergs VST-Standard ist der meistverbreitete.

Alle Standards funktionieren in einer ähnlichen Weise. Die Host-DAW-Anwendung übergibt in regelmäßigen Abständen das Plug-in über eine Rückruffunktion an zu verarbeitende Audiodaten. Das Plug-in muss innerhalb eines definierten Zeitrahmens die Verarbeitung abgeschlossen haben und wartet dann auf den nächsten Abruf.

Audio-Plug-ins können auch eine grafische Oberfläche zur Verfügung stellen, über die ein Benutzerparameter geändert und gespeichert werden kann. Dies könnte z. B. die Grenzfrequenz eines Tiefpassfilters oder die Verzögerungszeit eines Hall-Effekts sein.

Aus der Sicht des Programmierers sind Plug-ins dynamisch ladbare Bibliotheken, die eine spezifizierte API implementieren. Die Host-DAW-Anwendung kann dann während der Laufzeit laden und Audiodaten durch sie verarbeiten lassen [4]. Auf der Windows-Plattform werden VST-Plug-ins als Dynamic Link Libraries (DLL) kompiliert, auf Mac OSX sind sie Mach-O-Bundles. Die ursprünglichen Apple-AudioUnit-Plug-ins sind auch als Mach-O-Bundles zusammengestellt, sie haben fast identische Funktionalität. Andere alternative Plug-in-Formate sind Avids RTAS und AAX-Plug-Formate, Microsofts DirectX-Architektur oder LADSPA, DSSI und GW2 auf Linux.

Echtzeit-Audio-Plug-ins, wie der Name schon sagt, müssen in der Lage sein,



ihre Aufgaben schnell genug zu erfüllen, um den Echtzeit-Audio-Anforderungen gerecht zu werden. Wie schnell ist schnell genug? Nun, das hängt davon ab, wie man "Echtzeit" definiert. Für Audio-Anwendungen wird Echtzeit in Bezug auf die Latenz des Audiosystems definiert. Die Gesamtverzögerung zwischen dem Eintreffen eines Audiosignals in das System (beim Analog-Digital-Wandler zum Beispiel), Verarbeitung, und dem Verlassen des Systems (beim Digital-Analog-Wandler oder Audio-Ausgang) ist die Latenz. Die maximal zulässige Latenzzeit für Audioanwendung ist ungefähr 10 ms [5]. Ist die Latenzzeit länger als 10ms, wird sie als störend empfunden und ist nicht mehr akzeptabel für Live-Performance-Anwendungen.

Jeder Verarbeitungsprozess wird eine gewisse Verzögerung hinzufügen. Doch innerhalb der Audio-Verarbeitungsfunktion muss der Programmierer darauf achten, keine unnötigen oder nicht berechenbaren Verzögerungen zu erzeugen. Es ist auch wichtig, zu verstehen, dass die Audio-Verarbeitungsfunktion im Kontext eines hoch-prioritären System-Threads berechnet wird. Nichts innerhalb dieser Funktion sollte auf Ressourcen warten, welche von anderen Threads mit niedrigerer Priorität berechnet werden. Beispiele von zu vermeidenden Dingen sind Speicherallokationen und Speicherdeallokationen oder das Warten auf bzw. Sperren eines Mutex [4], oder direkt Aktualisierungen der grafischen Oberfläche vorzunehmen.

## 2.3 Audio via Ethernet

Das Versenden von Audiodaten über Netzwerke ist nicht neu. Auch nicht das Senden von Audiodaten in Echtzeit. Das IETF (Internet Engineering Taskforce) RFC 3550 definiert das Real-time Transport Protocol für die Bereitstellung von Audio und Video in Echtzeit über IP-Netzwerke. RTP wird als Grundlage für die meisten Medien-Streaming und Video-Konferenz-Anwendungen eingesetzt.

Andere neue Spezifikationen wie AVB<sup>1</sup> und AES67<sup>2</sup> bauen auf RTP und ermöglichen präzises Timing und Synchronisieren für professionelle Audio-Anwendungen. Die Synchronisation ist in diesen Standards wichtig, weil sie sich mit der Steuerung von auf mehrere Hosts verteilter Audiohardware befassen.

Hardware-Synchronisation ist nicht für dieses Projekt relevant, weil es sich nicht mit externer Audio-Hardware befasst. Ziel dieses Projektes ist es, externe CPUs als Audio-Koprozessoren über Gigabit-Ethernet zu nutzen. Dennoch bieten die AVB- und AES67-Standards viele Erkenntnisse darüber, wie die Datenübertragung für Low-latency-Anwendungen optimiert werden kann und beweisen deren Machbarkeit. AES67 definiert Richtlinien, um Latenzzeiten deutlich unter 1 ms zu erreichen, auch bei Hunderten von parallel laufenden Audiostre-

---

<sup>1</sup>Audio Video Bridging ist eine Sammelplugg IEEE standards welche Zeit-Synchronisiertes niedrig Latenz Streaming Dienste ermöglicht

<sup>2</sup>AES67 , ein von der Audio Engineering Society definierte Standard, die bestehenden Low-Latency Streaming-Systeme Interoperabilität ermöglicht. AES67 definiert keine neuen Technologien, sondern versucht, einen kleinsten gemeinsamen Nenner zu setzen, durch die bestehenden Standards kompatibel sein können.

ams. Dies ist viel schneller als die in vielen DSP-basierten Systemen verwendeten Legacy-PCI- und Firewire-Verbindungen [1].

## 2.4 Single-Board-Computer

Die Popularität der Raspberry Pi hat eine ganze Industrie rund um Single-Board-Computer (SBC) generiert. Basierend auf Hardware, welche in Mobiltelefonen zu finden ist, sind diese kleinen Low-power-Geräte sehr beliebt, weil sie preiswert und einfach zu bedienen sind. Der größte Vorteil von SBCs im Vergleich zu anderen eingebetteten Geräten ist, dass sie mit Android- und Linux-Betriebssystemen laufen und somit mit den gleichen, auf Desktop-Computern verfügbaren, Tools programmiert werden können.

Aktuelle High-end-SBCs werden sogar mit Gigabit-Ethernet ausgestattet und Quad-Core-CPU's mit Geschwindigkeiten von weit über 1 GHz getaktet. Vergleicht man diese Systeme mit den 450 MHz G3 PPC-Systemen, auf dem die ersten VST- Software-Plug-ins berechnet wurden, sollten wir erwarten können, dass die neueren High-end-SBCs exzellente Audio-Koprozessoren sind.

Zwei SBCs sind es wert, in Betracht gezogen zu werden, da sie möglicherweise eine noch bessere Performance als Audio-Koprozessoren bieten. Das Parallela-Board hat einen 16 Core Epiphany-Koprozessor welcher verwendet werden kann, um die Audioverarbeitung parallel auszuführen. Standard-Frameworks wie OpenCL, MPI oder OpenMP können verwendet werden, um die Epiphany-Cores zu benützen. Der ODROID-XU4 SBC enthält einen Mali-T628-GPU-Koprozessor, der auch OpenCL- kompatibel ist. Beide sind für weniger als \$ 100 erhältlich.

Die Programmierung von Audioverarbeitungsalgorithmen als OpenCL Kernels könnte einiges komplexer sein als in C++, aber OpenCL bietet herstellerunabhängigen Zugriff auf GPGPU-Computing und hat den zusätzlichen Vorteil, dass es auch auf einem CPU ohne GPU-Beschleunigung verwendet werden kann [3].

Die Untersuchung dieser und anderer OpenCL-fähiger SBCs könnte ein interessantes Folgeprojekt sein.

## 2.5 Virtuelle analoge Synthese

Der Begriff "virtuelle analoge Synthese" wird verwendet, um die Echtzeit-Emulation des analogen Synthesizers der 60er- und 70er-Jahre zu beschreiben. Die Komplexität und die Ziele einer Emulation können variieren. Einige Emulationen gehen so weit, dass sie die tatsächlichen elektronischen Komponenten der Vintage-Synthese-Schaltungen simulieren, andere modellieren nur grob den Signalfluss.

Unabhängig von der Art der Emulation hat die virtuell analoge Synthese zwei Probleme, mit denen es sich zu beschäftigen gilt: Latenzzeit und Aliasing. Das Problem der Latenzzeit wurde bereits oben beschrieben. Jede Verarbeitung

erzeugt eine Verzögerung des Signals hervor; die Komplexität der Verarbeitung kann die Verzögerung erhöhen oder mehr CPU-Zyklen verbrauchen. Aliasing ist eine hörbare Verzerrung des Signals, welche durch Frequenzen verursacht werden, die höher sind als die Abtastrate des Systems erlaubt.

Analog-Synthesizer verwenden üblicherweise subtraktive Synthese. Ein oder mehrere Klangerzeuger ( Oszillatoren ) erzeugen Signale mit besonderen harmonischen Qualitäten. Diese Signale werden durch Filter geschickt, welche die Frequenzen aus dem Signal subtrahieren". Die Oszillatoren, Filter und Amplitude können moduliert werden. Abbildung 2.1 ist ein einfaches Blockschaltbild einer typischen subtraktiven Synthesizer-Stimme.

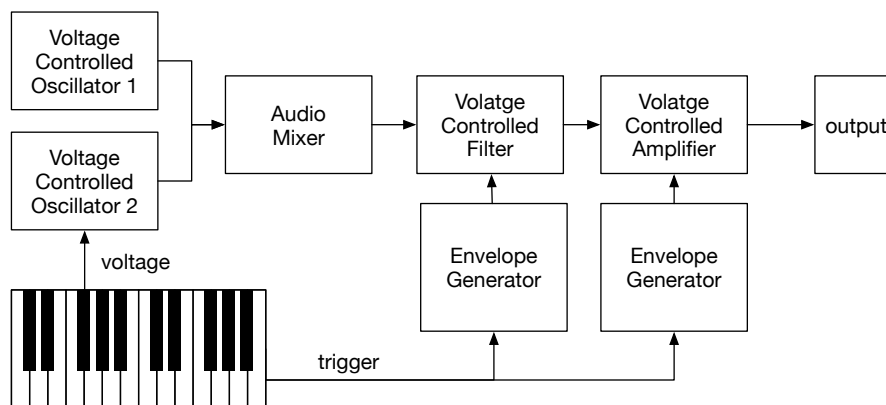


Abbildung 2.1: Blockschaltbild einer subtraktiven Synthesizer-Stimme

Die spannungsgesteuerten Oszillatoren (voltage controlled oscillators, VCO) erzeugen einfache Wellenformen in der Tonhöhe, die auf der Tastatur gespielt wird. Der Benutzer kann in der Regel zwischen einer Kombination aus Sägezahn-, Rechteck- oder Dreieck-Wellenform wählen. Die Frequenzen oder die Klangfarbe der Wellenformen können dann durch die folgenden Filter und Amplituden-Blöcke moduliert werden.

Der erste Eindruck könnte sein, dass die Modellierung des Oszillators einfach ist. Eine digital erzeugte Rechteck- oder Sägezahn-Wellenform sollte leicht zu implementieren sein. Die 5-kHz-Sägezahn-Wellenform beispielsweise würde sich alle 8,82 Samples wiederholen bei einer Taktrate von 44,1 kHz. So würde die Wellenform sich linear von -1,0 auf 1,0 erhöhen, dann zurückspringen auf -1,0 und wieder von vorn beginnen. Was bedeutet aber 0,82 Samples in einem diskreten digitalen System? Abbildung 2.2 veranschaulicht das Problem. Die linke Spalte zeigt einen Abschnitt einer idealisierten 5kHz-Sägezahnwellenform und den entsprechenden Frequenzinhalt. Oberhalb der Grundfrequenz 5 kHz sind Oberwellen, die weit über 100 kHz hörbar sein werden. Die rechte Spalte zeigt den gleichen Abschnitt einer 5kHz-Sägezahnwellenform in einer mit 44,1kHz getak-

teten diskreten Umgebung. Die Wellenform selbst ist verzerrt und die höheren Harmonien sichtbar von der 22,05 kHz Nyquist-Grenze nach unten reflektiert.

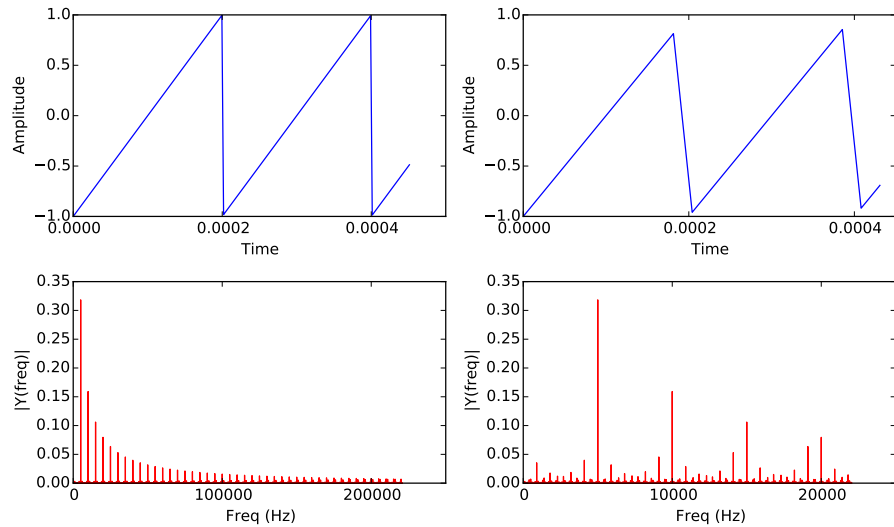


Abbildung 2.2: Ideale und Aliased 5kHz-Sägezahnwellenform

Es gibt verschiedene Verfahren zur Beseitigung oder Verminderung von Aliasing. Die effektivste ist es, die Oberwellen mit einer Reihe von Sinus-Wellen bis zu der Nyquist-Grenze oder die Hälfte der Abtastrate des Systems zu konstruieren, aber dies ist sehr rechenintensiv. Weniger CPU-intensive Strategien sind Oversampling, Bandbegrenzung oder andere Aliasing-Unterdrückungsmethoden [7].

## Kapitel 3

# Anforderungsanalyse

### 3.1 Allgemeine Anforderungen

Die Anwendung besteht aus zwei Komponenten, einem Audio Plug-in, das auf der Haupt-CPU-Maschine läuft, und den Rechenknoten, die auf vernetzten SBC-Geräten laufen. Das Audio-Plug-in leitet MIDI-Steuerung und Audio-Daten zu den Rechenknoten. Die Rechenknoten senden die verarbeiteten Audiodaten zurück an das Audio-Plug-in, das wiederum die Daten an die Host DAW-Anwendung übergibt. Die Gesamtumlaufzeit, einschließlich der Verarbeitung, sollte 10 ms nicht überschreiten. Dies ist die maximal erlaubte Latenzzeit für Live-Anwendungen [5].

Die Rechenknoten und das Audio Plug-in müssen in sich abgeschlossen sein und funktionieren, ohne dass der Benutzer externe Bibliotheken, Frameworks oder Server installieren muss<sup>1</sup>.

### 3.2 Verteilte Datenverarbeitung

Um die Belastung der Host-CPU zu reduzieren, sollen Audio-Verarbeitungsaufgaben an externe SBCs über Gigabit-Ethernet verteilt werden. Auf der Host-CPU arbeitet das Audio Plug-in als Master-Knoten. Für den Host-DAW sollte die Verteilung der Audio-Verarbeitungsaufgaben vollkommen unsichtbar sein. Der Master-Knoten empfängt MIDI- und Audiodaten vom Host-DAW und gibt die Ergebnisse zurück wie jedes andere Audio-Plug-in.

Im Gegensatz zu anderen dezentralen Verarbeitungssystemen, wo große Datenmengen an Rechenknoten in Paketen verteilt werden, bekommt das Plug-in in sehr kurzen regelmäßigen Abständen Zugriff auf einen kleinen Pufferspeicher an Audiodaten. Das Plug-in muss in kurzer Zeit die Daten verarbeiten und zurückgeben an die Host DAW-Anwendung, bevor der nächste Puffer bereitsteht. Dies schränkt die Möglichkeiten der Verteilung von Bearbeitungsaufträgen ein.

---

<sup>1</sup>Die einzige Ausnahme könnte ZeroConf / Bonjour unter Linux oder Windows sein. Siehe Anhang

Es gibt verschiedene Arten, Verarbeitungsaufgaben zu parallelisieren. Jede Plug-in-Instanz könnte den gesamten Auftrag an einen Rechenknoten delegieren wie in Abbildung 3.1 dargestellt. Besteht eine Verarbeitungsaufgabe aus mehreren, in Serie geschalteten, Verarbeitungsböcken, dann könnte jeder Block einem Rechenknoten zugeteilt werden, wie in Abbildung 3.2 dargestellt. Speziell bei einem virtuellen Synthesizer-Plug-in könnte jede gespielte Stimme seinem eigenen Rechenknoten zugeteilt werden, siehe Abbildung 3.2.

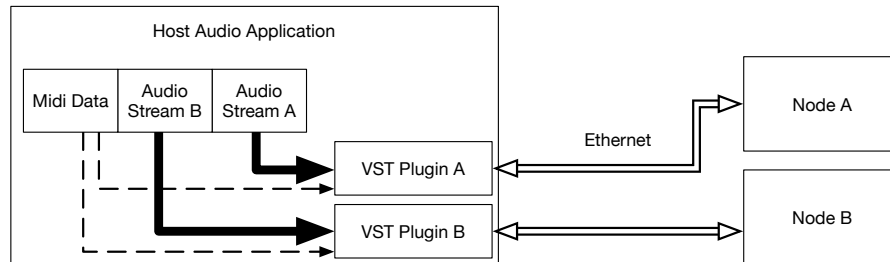


Abbildung 3.1: Jedes Plug-in an einen Knoten verteilt

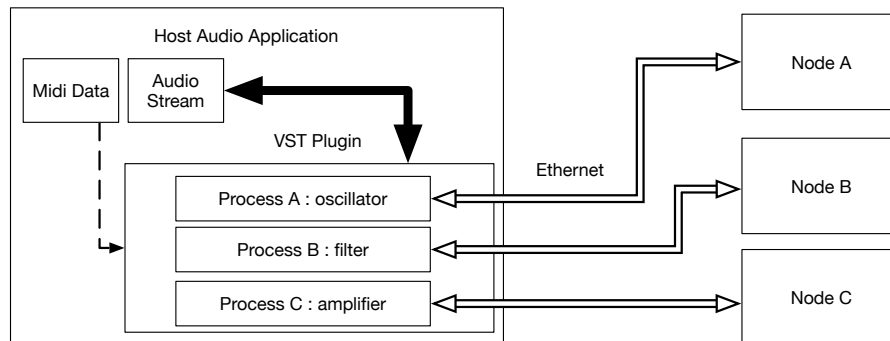


Abbildung 3.2: Jeder Verarbeitungsblock an einen Knoten verteilt

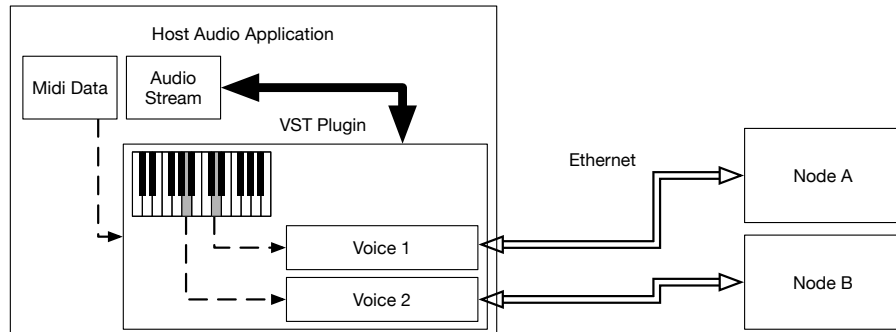


Abbildung 3.3: Jede Synth-Stimme an einen Knoten verteilt

Für dieses Projekt wird die zweite Option implementiert aus Gründen der Testbarkeit, auch wenn dies vielleicht nicht die effizienteste Implementierung ist.

### 3.3 Audio-Plug-in

Aus Sicht der Host-DAW-Anwendung muss das Plug-in wie ein ganz normales VST-Plug-in aussehen. Das Verteilen der Aufgaben auf vernetzte Rechenknoten muss transparent funktionieren. Das Plug-in wird nicht in einer isolierten Umgebung ausgeführt. Es teilt die Rechenressourcen mit dem Host-DAW so wie eine beliebige Anzahl anderer Plug-ins. Daher sollte die Belastung auf der CPU sorgfältig auf das Nötigste reduziert werden.

Audio-Plug-ins haben typischerweise einen Zustand, der Parametereinstellungen enthält, die vom Audio-Host oder vom Benutzer gesteuert werden können. Der aktuelle Zustand muss den vernetzten SBC-Modulen auch mitgeteilt werden. Dies ist notwendig, damit ein Audio Plug-in den Zustand eines fortlaufenden Prozesses nahtlos an einen vernetzten Rechenknoten weitergeben kann. Es könnte auch verwendet werden, um einen vernetzten Rechenknoten durch Umschalten des aktiven Zustandes die Verarbeitung für mehrere Audio-Plug-ins übernehmen zu lassen.

Das Audio-Plug-in stellt die folgenden Anforderungen:

- lauffähig als Echtzeit-VST-Audio-Plug-in in einer Standard DAW-Anwendung
- Lokalisieren und verbinden mit einem oder mehr Rechenknoten im Netzwerk
- Übermitteln von MIDI- und Audio-Daten von der Host-DAW-Anwendung an die vernetzten Rechenknoten

- Audiodaten von den Rechenknoten empfangen und diese zurück an die DAW-Anwendung geben
- ist kein entsprechender Knoten im Netzwerk vorhanden, muss die Audioverarbeitung lokal stattfinden
- das Audio-Plug-in muss seinen aktuellen Zustand an den Rechenknoten übermitteln können

### 3.4 Externer Rechenknoten

Die Rechenknoten sind Anwendungen, die auf den vernetzten SBC-Geräten laufen. Je nach Art der implementierten Parallelisierung im Audio-Plug-in bekommt der Rechenknoten die gesamte Verarbeitungsaufgabe oder einfach nur einen Teil davon. Für dieses Projekt werden die Rechenknoten als Reihe von Prozessoren in eine übergeordnete Anwendung umgesetzt. Die übergeordnete Anwendung implementiert einen Socket-Listener, welche den zugeordneten Rechenknoten aufruft sobald eine Audio-Verarbeitungsaufgabe eintrifft. Die Verfügbarkeit, Art und Lage der Rechenknoten und das entsprechende Socket wird über das Netzwerk via Bonjour / ZeroConf übertragen.

Die Rechenknoten sollten zustandslos sein. Jeder Zyklus des Audio-Verarbeitungsalgorithmus sollte nur die Zustandsdaten des entsprechenden Pakets berücksichtigen müssen. Werden die Zustandsdaten durch den Verarbeitungsalgorithmus geändert, müssen sie an das Audio-Plug-in zurückgesendet werden. Damit soll sichergestellt werden, dass ein Rechenknoten zu jeder Zeit in eine laufende Session einspringen kann, ohne etwas über vorherige Events wissen zu müssen. Es hat auch den zusätzlichen Vorteil, dass ein Verarbeitungsknoten in der Lage wäre, Aufträge für mehrere Instanzen eines bestimmten Plug-ins verarbeiten zu können.

Die Rechenknoten müssen die folgenden Anforderungen erfüllen:

- ihre Verfügbarkeit und ihren Standort im Netzwerk via Bonjour / ZeroConf bekanntgeben
- Steuerdaten vom Audio-Plug-in akzeptieren
- eingehende Audiodaten und MIDI-Daten vom Audio-Plug-in verarbeiten
- die verarbeiteten Daten sofort an das Audio-Plug-in zurücksenden

### 3.5 Software-Anforderungen

In Echtzeit-Audio-Anwendungen ist das Einhalten zeitlicher Vorgaben kritisch. Dies mag selbstverständlich klingen, aber für einen Programmierer bedeutet es den Verzicht auf viele Annehmlichkeiten der modernen Programmierung, besonders das Arbeiten mit High-Level-Programmier-Sprachen wie Java oder Python. Echtzeit-Audio ist eine "Hard Realtime"-Aufgabe und dafür eignen



sich nur Low-Level-Sprachen wie C oder C++. Auch die meisten Audio-Anwendungsschnittstellen und Bibliotheken wie die VST SDK sind für C/C++.

Professionelle Audio-Anwendungen laufen in der Regel auf Mac OSX oder Windows-Betriebssystemen, daher muss das Audio-Plug-in auf diesen Systemen kompatibel sein. Die Rechenknoten, welche auf den SBC-Geräte laufen, müssen Linux-kompatibel sein. Doch beide Anwendungen sollten einen Großteil ihres Quellcodes teilen können, da ihre Aufgaben sich größtenteils überschneiden.

Es gibt viele C++ Bibliotheken und Frameworks, welche Cross-Plattform-Kompatibilität ermöglichen und nebenbei auch den Zugriff des Programmierers auf High-Level-Konstrukte, wie automatische Speicherbereinigung mittels intelligentem Zeiger und Referenzzählung, die das Programmieren in C++ einfacher machen.

### 3.5.1 Evaluierte C++ Frameworks

Boost ist das beliebteste plattformübergreifende C++ Framework. Viele seiner Funktionalitäten wurden sogar der C++ 11-Standard-Bibliothek hinzugefügt. Andere Frameworks wie Cinder und Open Frameworks bieten viele High-Level-Funktionen, um schnell interaktive medienreiche Anwendungen zu programmieren. Zwei Bibliotheken die hervorzuheben sind, JUCE und WDL, bieten besonders für Audio-Plug-ins und DAW-Anwendungen zugeschnittene Funktionen und Klassen. Von diesen beiden hat JUCE eine viel größere Benutzergemeinschaft (einschließlich Anbieter von DSP-basierten Audio-Koprozessoren).

Software-Framework-Kriterien:

- Plattformübergreifend für OSX, Linux und Windows
- Bietet High-Level-Konstrukte wie intelligente Zeiger
- Unterstützung für plattformübergreifende Audiointegration
- Sollte gut dokumentiert sein und eine aktive Benutzergemeinschaft haben
- Bietet plattformübergreifenden Netzwerkzugriff

Framework	High Level Utilities	Audio Utilities	Network Utilities	VST Utilities	Community
JUCE	ja	ja	ja <sup>2</sup>	ja	gross
WDL	ja	ja	nein	ja <sup>3</sup>	klein
Open Frameworks	ja	ja	ja <sup>4</sup>	nein	gross
Boost	ja	nein	ja	nein	gross
Cinder	ja	ja	ja	nein	klein
LibSourcey	nein	nein	ja	nein	nein
Qt	ja	nein	ja	nein	gross

Auf Grundlage des Kriterienvergleiches und früherer Erfahrungen mit anderen Projekten wurde für die Implementierung dieses Projektes JUCE ausgewählt.

---

<sup>2</sup>einfache Socket-Verwaltungs-Klassen

<sup>3</sup>durch optionale `iplug` Libraries ermöglicht

<sup>4</sup> `ofxNetwork-addon` ermöglicht einfaches verwalten von TCP und UDP Sockets

# Kapitel 4

## Implementation

### 4.1 Architecture

Abbildung 4.1 zeigt einen Überblick über die Audioverarbeitungsumgebung. Der Benutzer des Systems arbeitet mit der DAW-Anwendung, welche auf dem Host-CPU läuft, und kann ein Audio-Plug-in auf einer bestimmten Audiospur aktivieren. Ein einzelnes Audio Plug-in kann einen oder mehrere Audio-Prozessoren enthalten. Prozessoren, die fähig sind, ihre Aufgaben zu verteilen, suchen nach einem entsprechenden Rechenknoten auf einem vernetzten SBC-Gerät.

Die Geräte werden über Gigabit-Ethernet vernetzt. Es wird davon ausgegangen, dass das Netzwerk nicht für sonstigen signifikanten Verkehr benützt wird.

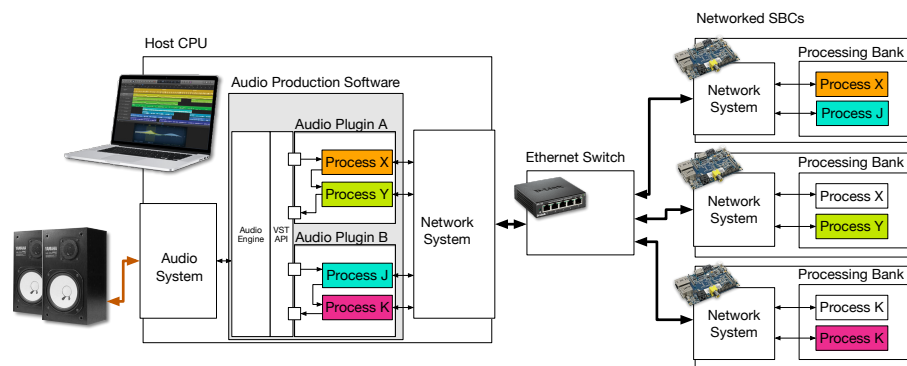


Abbildung 4.1: Architektonischer Überblick

### 4.1.1 Host CPU

Abbildung 4.2 zeigt die Komponenten, welche für Echtzeit-Audio auf der CPU benötigt werden. Audio-Hardware muss den Digital-Analog-Wandlern einen kontinuierlichen genau-getakteten Datenstrom zuführen. Dies geschieht durch periodisches Abfragen des Betriebssystems über die Hardware-Interrupts. Die erforderliche Puffergröße kann wenige Abtastwerte beinhalten und die Abfrageintervalle weniger als 1 ms. Dies ist abhängig von Hardware und Audio-Treibern, die verwendet wurden.

Das Betriebssystem bietet eine Abstraktionsebene in Form einer API für die Anwendungssoftware. Dies gibt der Anwendungs-Software eine einheitliche Schnittstelle, unabhängig von der Marke der Audio-Hardware und -Treiber.

Die VST-API ist eine weitere Abstraktionsebene, die wiederum eine einheitliche Schnittstelle für Plug-in-Anbieter bietet, unabhängig von der OS. Aber VST ist nicht die einzige Plug-in-API. Die JUCE-Bibliothek bietet eine eigene Plug-in-API, die einfacher ist und die Unterschiede zwischen verschiedenen Plug-in-APIs vereinheitlicht.

Die durch Interrupts der Audio-Hardware ausgelöste Datenabfrage wird durch das Betriebssystem an die DAW-Anwendung durch Rückruffunktionen weitergeleitet. Der DAW hat zuvor beim Starten die entsprechenden Rückruffunktionen an das Betriebssystem registriert. Die DAW-Anwendung ihrerseits leitet die Datenabfrage, ebenfalls durch die vom VST spezifizierten Rückruffunktionen, an alle aktiven Plug-ins weiter.

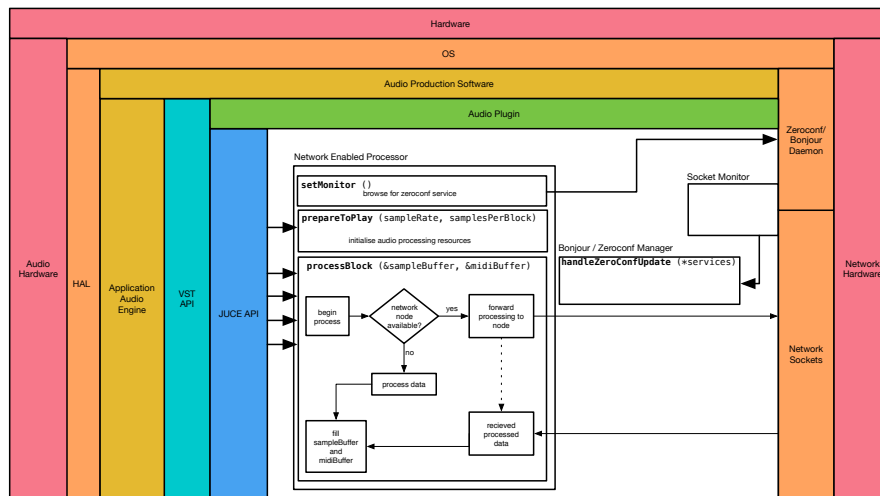


Abbildung 4.2: Host-CPU-Überblick

Das für dieses Projekt implementierte Audio-Plug-in hat mehrere Netzwerkprozessoren aktiviert; in Abbildung 4.2 wird nur einer als Beispiel dargestellt.

Wenn das Plug-in von der Host-Software instanziiert wird, instanziiert es seinerseits jeden seiner internen Prozessoren. Die Prozessoren wiederum rufen den Bonjour / ZeroConf-Daemon des Betriebssystems auf, das Netzwerk auf einen passenden, registrierten Rechenknoten zu durchforsten. Der Aufruf geht gleichfalls an ein Socket, über welches der Daemon den Prozessor über das Auffinden eines passenden Services im Netzwerk benachrichtigen kann.

Der Bonjour / ZeroConf-Daemon zeigt dem Audio-Plug-in mittels des Sockets eine Liste der gefundenen Services an. Das Audio-Plug-in durchsucht die Liste nach einem freien Rechenknoten. Der ausgewählte Rechenknoten wird in die "activeNode"-Variable gespeichert.

Wenn eine Anfrage für Audio-Daten von der DAW-Anwendung an das Plug-in übergeben wird, dann wird die „processBlock“-Funktion des Plug-ins aufgerufen. Das Plug-in seinerseits ruft die „processBlock“-Funktionen jeden seiner internen Audio-Prozessoren nacheinander auf. In Abbildung 4.2 wird dies vereinfacht dargestellt mit der „processBlock“-Funktion eines einzigen Audio-Prozessors. Der „processBlock“-Funktion wird eine Referenz zugeteilt bezüglich der aktuellen, zu verarbeitenden Audiopuffer und MIDI-Puffer. Der Audiopuffer enthält die einzelnen Audioabtastungen für jeden Kanal als Float-Werte. Der MIDI-Puffer enthält Performance-Daten wie die Eintrittszeit und Tonhöhe der gespielten Noten.

Innerhalb der „processBlock“-Funktion prüft der Prozessor, ob ein Rechenknoten im "activeNode" gespeichert ist. Wenn ja, dann leitet er sofort die MIDI- und Audiodaten sowie die eigenen Zustandsdaten an den Rechenknoten und wartet auf die Antwort. Wenn die Antwort eintrifft, werden die Daten zurück in die entsprechenden Puffer kopiert. Die DAW-Anwendung fragt die nächsten Plug-ins dann weiter ab, bis die gesamte Verarbeitungskette abgeschlossen ist. Die resultierenden Puffer werden an die Audiohardware über die HAL API geschickt.

#### 4.1.2 Vernetzte SBCs

Abbildung 4.3 zeigt die Komponenten der vernetzten SBC-Geräte. Eine Verarbeitungsanwendung kann eine beliebige Anzahl von Prozessoren erhalten, die jeweils ihre Dienste über den ZeroConf / Bonjour-Daemon im Netzwerk anbieten. Der ZeroConf / Bonjour-Daemon wird als Teil des Betriebssystems hier dargestellt. Der ZeroConf / Bonjour-Daemon sendet die Verfügbarkeit, die Verarbeitungsweise und die Portnummern von jedem der verfügbaren Prozessoren.

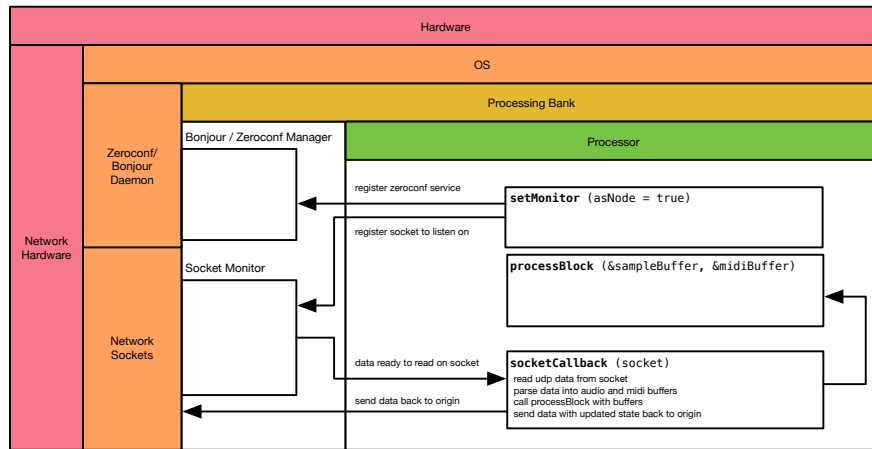


Abbildung 4.3: SBC-Prozessor-Überblick

Der Prozessor übergibt ein offenes Socket an einen Socket-Monitor und registriert sich als dazugehörendes Socket-Zuhörer-Objekt. Der Socket-Monitor besitzt ein Array von Sockets und einen Verweis auf jeden Zuhörer. Er übt eine „select“-Funktion auf das Array der Sockets aus und wartet. Wenn Daten an einem der Sockets eintreffen, wird die die „select“-Funktion freigegeben, und der Socket-Monitor benachrichtigt die entsprechenden Socket-Zuhörer-Objekte via Rückruffunktion, dass Daten zur Verfügung stehen.

Der entsprechende Prozessor wird über die Rückruffunktion benachrichtigt, liest die Daten, entpackt die Audio-, Zustands- und MIDI-Daten und führt die „processBlock“-Funktion aus. Die Ergebnisse und aktualisierte Zustandsinformation werden dann an den Sender zurückgesandt.

## 4.2 Software-Komponenten

Die Anwendung ist in Komponenten (Klassen) aufgebaut, welche jeweils die Verantwortung für einen Teilbereich steuern. Jedes Modul wurde in einer „Pseudo-Test-driven“ Methodik entwickelt. Die Tests wurden nicht unbedingt entwickelt, bevor der entsprechende Code geschrieben wurde, aber auf jeden Fall kurz danach. Dies führte zu einem stabilen Code, der in jeder Code-Iteration geprüft werden konnte, isoliert von anderen Komponenten.

Die Interaktion mit einer Klasse wird in einer dazugehörigen „Zuhörer“ Klasse definiert mit spezifischen Rückruffmethoden, die vom Klienten zu implementieren sind. Eine Client-Klasse kann dann von der Listener-Klasse erben und sie überschreiben.

### 4.2.1 SocketMonitor

Die Monitor-Klasse wurde entwickelt, um Sockets effizient zu verwalten. Client-Klassen erben von der "FileDescriptorListenerKlasse, um benachrichtigt zu werden, wenn Daten auf einem dazugehörigen Socket verfügbar sind.

Die Monitor-Klasse hat einen Thread, welcher eine Select-Funktion aufruft. Die Select-Funktion wird einem Array von Sockets als File-Deskriptor übergeben, dann blockiert sie. Sobald Daten auf einem der Sockets eintreffen, fährt die Select-Funktion fort. Der Thread prüft alle File-Deskriptoren bis er den richtigen gefunden hat und benachrichtigt das entsprechende FileDescriptorListener-Objekt.

Einer der Sockets, welcher an die Select-Funktion übergeben wird, wird der Monitor-Klasse-eigene (control-listener) Socket. Die Monitor-Klasse kann ein Signal an diesen Socket senden, um den blockierten Thread aus der Select-Funktion zu wecken und den Zustand zu aktualisieren. Die Monitor-Klasse tut dies, wenn ein neuer Client sich registriert bzw. entfernt, und wenn die Monitor-Klasse heruntergefahren werden muss.

### 4.2.2 ZeroConfManager

ZeroConf (kurz für Zero-Configurations-Netzwerk, auch als Bonjour auf OSX bekannt) ist eine Technologie, die es einer Softwaredienstleistung erlaubt, ihre Verfügbarkeit und ihren Standort über ein Netzwerk anzuzeigen. Drucker und Multimedia-Geräte verwenden ZeroConf z.B., um für andere Netzwerkteilnehmer leicht zu finden und zu nutzen zu sein.

Bonjour auf OSX und die von Avahi auf Linux implementierten kompatiblen Funktionen definieren eine rückruf basierte API zum Bonjour- oder Avahi-Daemon-Prozess. Die Bonjour-API befindet sich in C. Die ZeroConfManager-Klasse kapselt die API in einer objektorientierten Weise ein. Andere Klassen, welche die ZeroConfigurationsdienste ansprechen müssen, können von der ZeroConfListener-Klasse erben und sich bei der ZeroConfManager-Klasse als Zuhörer registrieren.

Wird ein neuer Software-Dienst im Netzwerk registriert, oder verschwindet ein bestehender aus dem Netzwerk, werden den betreffenden Zuhörern mit einer Liste alle aktiven Services angezeigt. Sind sie noch mit einem nicht mehr verfügbaren Software-Dienst verbunden, müssen sie sich von diesem Dienst trennen.

Um einen Dienst an einer bestimmte IP-Adresse und Port-Nummer aufzulösen, müssen mehrere asynchrone Aufrufe an den Bonjour-Daemon vorgenommen werden. Zwischen den Aufrufen müssen die Ergebnisse gespeichert und der Zustand aktualisiert werden. Der ZeroConfManager verbirgt diese Komplexität vor den Zuhörern und benachrichtigt sie nur, wenn alle Informationen vorhanden sind.

### 4.2.3 DiauproMessage

Die DiauproMessage-Klasse verwaltet die Serialisierung von Daten in Datagramm-Pakete bzw. deren Deserialisierung. Die Datagramme selbst bestehen aus einem Header mit festgelegter Länge und Nutzdaten mit variabler Länge, welche die Audio, MIDI- und Zustandsdaten enthalten.

Der Header wird wie folgt definiert:

---

```
struct diapro_header {
    uint16  sequenceNumber;
    uint16  numSamples;
    uint16  numChannels;
    double  sampleRate;
    uint16  audioDataSize;
    uint16  midiDataSize;
    uint16  stateDataSize;
    double  cpuUsage;
    double  totalTime;
    double  processTime;
    uint32  tagNr;
};
```

---

Die DiauproMessage-Klasse bemüht sich, möglichst bestehenden, zugewiesenen Speicher zu verwenden. DiauproMessage-Instanzen sollten nicht dem Thread zugewiesen werden, der die Audio-Verarbeitungsroutinen aufruft. Sie sollte vielmehr vorab mit genügend Speicher belegt werden, um das größtmögliche UPD-Datagramm (64 KB) zu speichern. Diese Instanz kann dann für jeden Aufruf-Zyklus wiederverwendet werden, so dass während einer kritischen Prozessphase nicht erneut Speicher zugewiesen werden muss.

### 4.2.4 Diaupro-Prozessor

Die DiauproProzessor-Klasse ist die Basisklasse, von der andere Prozessoren erben sollen. Die DiauproProzessor-Klasse erbt ihrerseits von der JUCE Audioprozessor-Klasse, die alle Funktionen der verschiedenen Audio-Plug-in-Formate einkapselt. Klassen, die von Audioprozessoren erben, können direkt in ein VST-Plug-in implementiert werden.

Eine Klasse, die vom Diaupro-Prozessor erbt, muss die Funktionen „localProcess“ und „getServiceTag“ überschreiben. Die „localProcess“-Funktion führt die Audio-Datenverarbeitung aus. Die „getServiceTag“-Funktion liefert eine Zeichenkette, die verwendet wird, um ihre Dienste im Netzwerk anzuzeigen oder danach zu suchen.

Klassen, die vom Diaupro-Prozessor erben, können instanziiert und eingerichtet werden, sodass sie entweder im Audio-Plug-in oder im Rechenknoten laufen. Im Plug-in-Code ausgeführt, suchen sie einen entsprechenden Rechenknoten im Netzwerk. Falls nichts Passendes gefunden wird, wird die „localProcess“-Funktion lokal verwendet. Finden sie einen entsprechenden vernetzten Service, werden alle ankommenden Audio- und MIDI-Daten an diesen weitergeleitet.



Wenn in einem Rechenknoten ausgeführt, melden sich Klassen, die vom Diaupro-Prozessor erben, im Netzwerk an und warten auf ankommende Verarbeitungsanforderungen.

Beispiele für Klassen, die vom Diaupro-Prozessor erben, sind die Diaupro-VCO- und Diaupro-VCA-Prozessoren. Sie werden weiter unten detailliert beschrieben.

#### 4.2.5 DiauproVCOProcessor

Der DiauproVCOProcessor erbt vom DiauproProcessor und implementiert den Oszillatorblock eines virtuellen Synthesizers. Er erzeugt einen Klang in der Tonhöhe einer gespielten MIDI-Note. Die einzigen Funktionen, die vom Diaupro-Processor überschrieben werden müssen, sind "localProcess", "getState", "getStateSize" und "getServiceTag".

"localProcess" wird wie folgt implementiert:

---

```

1 void DiauproVCOProcessor::localProcess(AudioSampleBuffer &buffer,
2                                       MidiBuffer &midiMessages,
3                                       void* state)
4 {
5     processState = *(vco_state*)state;
6     int sampleNr;
7     int nextEventCount = -1;
8     MidiBuffer::Iterator midiEventIterator(midiMessages);
9     MidiMessage nextEvent;
10    bool hasEvent;
11
12    for(sampleNr = 0; sampleNr < buffer.getNumSamples(); sampleNr++)
13    {
14        if(nextMidiEventCount < sampleNr)
15        {
16            hasEvent = midiEventIterator.getNextEvent(nextEvent, nextEventCount);
17        }
18        if(hasEvent && nextEventCount == sampleNr)
19        {
20            if(nextEvent.isNoteOn())
21            {
22                processState.voice_count++;
23                processState.frequency = MidiMessage::getMidiNoteInHertz(nextEvent.getNoteNumber());
24                double cyclesPerSample = processState.frequency / getSampleRate();
25                processState.step = cyclesPerSample * 2.0 * double_Pi;
26            }
27            else{
28                processState.voice_count--;
29            }
30        }
31        if(processState.voice_count > 0)
32        {
33            const float currentSample = (float) (sin (processState.phase) * processState.level);
34            processState.phase += processState.step;
35            for(int i = 0; i < buffer.getNumChannels(); i++)
36            {
37                float oldSample = buffer.getSample(i, sampleNr);
38                buffer.setSample(i, sampleNr, (currentSample + oldSample)*0.5);

```

```

39         }
40     }
41 }
42 }

```

---

Wenn die Funktion aufgerufen wird, wird der aktuelle Audio-Puffer übergeben, ein Puffer von MIDI-Events für den entsprechenden Zeitrahmen und ein Zeiger auf einen Block von Daten, die zur Zustandsspeicherung zwischen den Aufrufen verwendet werden? ??

Wird diese Funktion innerhalb eines Rechenknotens ausgeführt, dann werden Audio-, MIDI- und Zustandsdaten aus einer DiauproMessage, die als UDP-Paket vom Master-Audio-Plug-in gesendet wurde, entnommen.

Im obigen Beispiel wird eine Sinuswelle generiert, indem der Sinus-Wert für jedes Element im Audio-Puffer berechnet wird.

#### 4.2.6 DiauproVCAProcessor

Der DiauproVCAProzessor moduliert die Lautstärke des Signals über Zeit. VCA ist die Abkürzung für Voltage Controlled Amplifier; dies bezieht sich auf den Verarbeitungsblock in einem virtuellen Synthesizer, der für die „Form“ eines Klangs zuständig ist. Eine Glocke, zum Beispiel, hat einen schnellen und lauten Anfangston, der langsam ausklingt. Im Gegensatz dazu ist der Klang eines Streichinstrumentes, wie z.B. einer Geige, ein langsam zunehmender Anfangston, der abrupt endet. Die VCA ist für die Gestaltung der Amplitude eines Klanges zuständig.

#### 4.2.7 DiauproPlugin

Die DiauproPlugin ist das Plugin, das in der DAW-Anwendung läuft. Es schickt Audiodaten von der DAW-Anwendung durch drei verketteten Prozessoren. Der erste Prozessor ist ein "Null-Prozess Block", die keine tatsächlichen Audio-Verarbeitung berechnet, aber ist für die Erfassung von Daten in Bezug auf Timing nützlich. Der zweite Prozessor ist die VCO-Block, einen Ton auf der Basis empfangen MIDI-Daten generiert. Der dritte Block ist der VCA, der die Amplitude des Tons über die Zeit gestaltet.

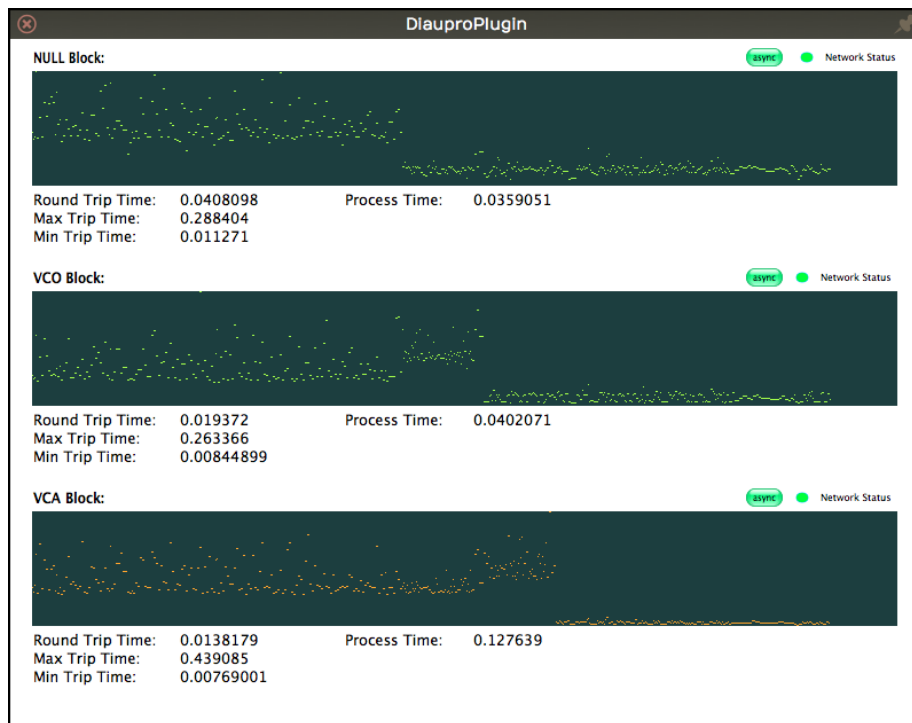


Abbildung 4.4: Screenshot of Plugin GUI

Der Benutzeroberfläche des Audio Plugins liefert wichtig informationen in Bezug auf die Zeit und den Status der internen Prozessoren. Jeder Prozessor lokal die Berechnungen lokal auf der CPU ausführen oder zu einem vernetzten Rechenknoten seine Daten senden, um verarbeitet zu werden. Ein "Network Status" Anzeige zeigt, wenn ein Rechenknoten der Verarbeitung übernimmt. Die Gesamtzeit, die ein Prozessor benötigt, um die Operationen durchzuführen wird als "Round Trip Time" angezeigt. "Process Time" ist die Zeit, die eine vernetzte SBC benötigt, um die Verarbeitung durchzuführen.

Ein "async" Knopf ermöglicht dem Benutzer, auf einen asynchronen Verarbeitungsverfahren zu wechseln. Wenn diese aktiviert ist prüft der Prozessor ob Daten von der SBC vorhanden sind, wenn nicht dann wartet es nicht. Stattdessen gibt der Prozessor einfach leer Daten zurück an den Plugin. Bis der nächste Puffer von der DAW-Anwendung angefordert wird, stehen die ersten Resultate zur Verfügung, und der Prozessor kann diese sofort zurückgeben, ohne zu warten. Diese Methode erzeugt eine Verzögerung in dem Signal von einem Pufferzyklus, hat aber den Vorteil, das es die CPU nicht blockiert. Die Verzögerung kann in der Regel von der DAW-Anwendung kompensiert werden.

Zusätzlich zur Bereitstellung einer grafischen Benutzeroberfläche speichert das Plugin auch Daten in eine Textdatei.

# Kapitel 5

## Schlussfolgerung

### 5.1 Performance-Evaluation

Ein Audio-Plug-in läuft in einer Umgebung mit vielen anderen Komponenten, mit dem es CPU-Ressourcen teilt. Die Verarbeitung von Audiodaten muss innerhalb diskreten, von der Audio-Hardware gesteuerten, Zeitintervallen abgeschlossen werden. Typische Audio-Sampling-Frequenzen sind 44,1 kHz, 48 kHz, 88,2 kHz und 96 kHz. Mit 44,1 kHz als Beispiel bedeutet dies, dass die für eine einzelne Abtastung erforderlichen Berechnungen innerhalb von 0,023 ms durchgeführt werden müssen. Interrupts müssten von der Audio-Hardware in Abständen von 0.023ms getätigt werden, und dies würde das Betriebssystem der CPU überlasten. Stattdessen werden Anfragen für neue Audiodaten in Puffern gebündelt. Die Größe der Puffer ist ein Parameter, der vom Benutzer gesetzt werden kann. In der Regel beträgt er 512 Abtastungen, kann aber bis 16 Abtastungen klein sein.

Erhöht man die Puffergröße, steigt auch die Zeit, die die CPU hat, um die Audiodaten zu verarbeiten. Dies führt aber auch dazu, dass die Latenz des Systems steigt. Eine Puffergröße von 512 Abtastungen entspricht einer Latenzzeit von 11.60ms. Eine 16-Probenpuffer-Größe entspricht 0.36ms.

Braucht ein einzelnes Plug-in 1,0 ms, um seine Verarbeitung abzuschließen, dann wird es nicht rechtzeitig beendet, wenn die Puffergröße zu niedrig eingestellt ist. Wenn die Puffergröße gerade hoch genug ist, dann bleiben nicht genügend CPU-Ressourcen übrig für andere Plug-ins, ihre Berechnungen auszuführen.

#### 5.1.1 Synchrone Performance

Dieses Projekt verteilt die Verarbeitung an externe SBC-Geräte. Es gibt jedoch keine Entlastung, wenn das Audio-Plug-in blockiert ist, während es für die Ergebnisse aus dem SBC-Gerät wartet. Da die externen SBC-Geräte langsamer sind als der Haupt-CPU, wird die Bearbeitungszeit sogar länger. Fügt man die

Zeit hinzu, die zur Serialisierung und Deserialisierung des Datagramm-Pakets an jedem Ende benötigt wird, wird die Leistung sogar noch verschlechtert.

Abbildung 5.1 zeigt das Problem genauer.

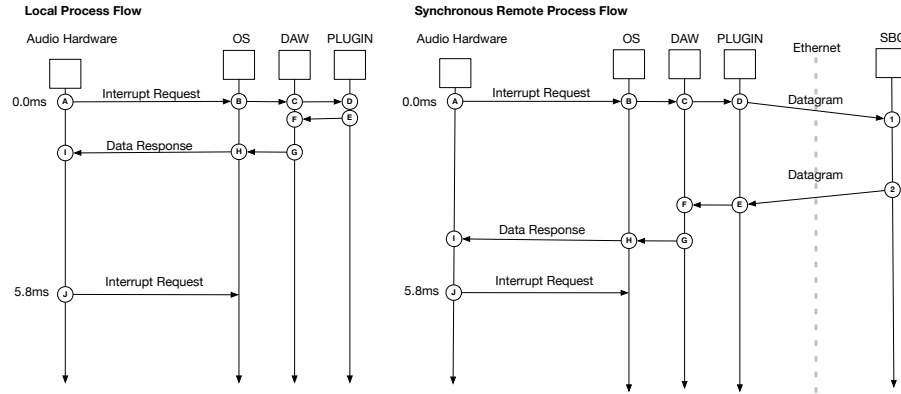


Abbildung 5.1: Lokale vs. externe synchrone Datenverarbeitung

Das Beispiel zeigt die Audio-Hardware-Abfragen an das Betriebssystem in Zeitintervallen von 5,8 ms getaktet. Dies entspricht einer Puffergröße von 256 Abtastwerten. Das Zeitintervall zwischen den Zuständen D und E repräsentiert die Zeit, die ein Plug-in braucht, um einen Puffer von 256 Proben zu verarbeiten. Die DAW-Anwendung führt andere notwendige Audio-Verarbeitungsfunktionen in dem Intervall zwischen F und G durch. Nach Zuständen G und H sind DAW-Anwendung und Betriebssystem wieder in der Lage, andere Dinge zu tun, wie z.B. die GUI zu aktualisieren.

Mit der synchronen verteilten Verarbeitung wird der Zustand E blockiert bis Zustände 1 und 2 abgeschlossen sind. Ist diese Zeit signifikant, hindert dies DAW-Anwendung und Betriebssystem daran, andere wichtige Aufgaben durchzuführen.

puffergröße	pufferzeit (ms)	rtTime (ms)	pTime (ms)	tTime (ms)	% von puffer- zeit
64	1.451247	0.574672	0.015857	0.558815	39.59
96	2.176870	0.575419	0.015851	0.559568	26.43
128	2.902494	0.59001	0.016519	0.573491	20.32
192	4.353741	0.67902	0.019013	0.660007	15.59
256	5.804988	0.707267	0.020352	0.686915	12.18
512	11.60997	0.707905	0.026348	0.681557	6.097

Tabelle 5.1: Measured Times for Synchronous Processing

Tabelle 5.1 zeigt die gemessenen Zeiten für verschiedene Puffergrößen in der synchronen Ausführung, in der keine tatsächliche Audioverarbeitung stattfindet. Nur die Vorbereitungs- und Transport-Zeiten werden berücksichtigt. Ein Audiosystem, das mit einer Puffergröße von 64 Proben läuft, hat 1.451ms, um alle Aufgaben zu erledigen. „rtTime“ ist die gemessene Gesamtumlaufzeit. Dies entspricht der Zeit zwischen den Zuständen D und E des synchronen Verfahrens in Abbildung 5.1. „pTime“ ist das Zeitintervall zwischen den Zuständen 1 und 2 auf dem SBC-Gerät, der Zeitaufwand für die Verarbeitung der Daten. In diesem Fall gab es keine Verarbeitung, so ist dies nur der für die Deserialisierung und Serialisierung der Datagramme zu Audio- und MIDI-Daten benötigte Zeitaufwand. „tTime“ ist die „pTime“, subtrahiert von der „rtTime“, welche dem Verpackungsaufwand entspricht, um Daten zu senden und zu empfangen.

Die letzte Spalte, „% von pufferzeit“, zeigt, wie viel Zeit insgesamt als prozentualer Anteil verbraucht wurde. Bei einer Puffergröße von 64 Abtastungen wird 39.59 % Prozent der Gesamtzeit für ein einziges Plug-in verbraucht. Es bleibt nicht viel Zeit übrig für andere Prozesse auf der CPU. Für eine Puffergröße von 512 Samples ist der Prozentsatz des Grenzwertes viel niedriger. Dafür ist aber die Gesamtsystemlatenz geringfügig höher als die maximal angestrebten 10ms. Durch die synchrone Implementierung wird die Verarbeitungslast der CPU überhaupt nicht verringert.

### 5.1.2 Asynchrone Performance

Anstatt auf eine Antwort von dem SBC zu warten wie bei der obigen synchronen Methode, prüft die asynchrone Methode zuerst, ob Daten vorhanden sind. Wenn ja, diese sofort zurückgeben, wenn nicht, leere Daten zurückgeben. Die erste Anfrage für Audiodaten würde leere Daten zurückgeben, aber bis der zweite Puffer angefordert wird, könnte die erste Antwort bereits vom SBC-Gerät zurückgekommen sein. In beiden Fällen ist die einzige Zeit, die das Audio-Plug-in selbst verbraucht, nur für die Serialisierung, Deserialisierung und den Transport der Daten. Das sind die Zeitabstände zwischen den Zuständen D und E sowie M und N, dargestellt in Abbildung 5.2.

### Asynchronous Remote Process Flow

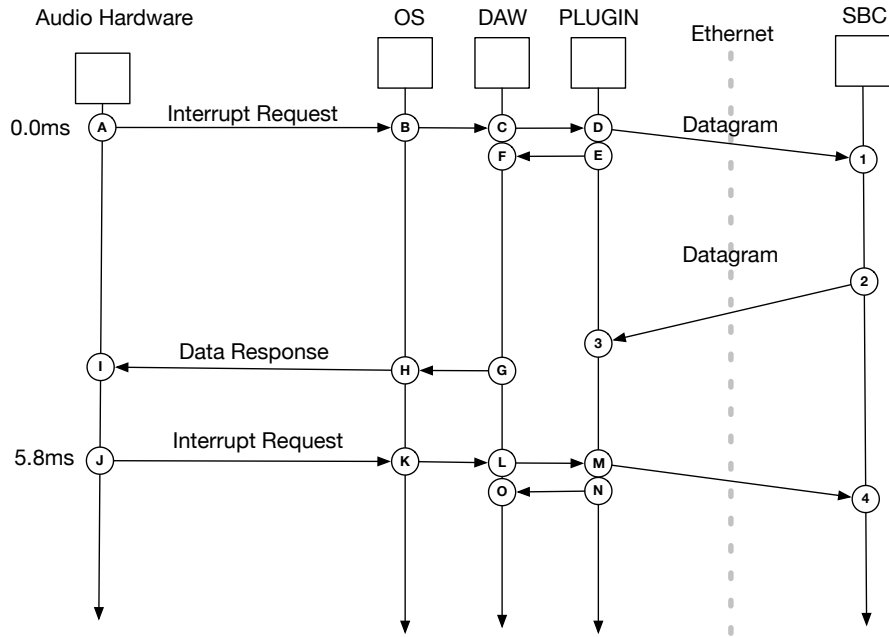


Abbildung 5.2: Lokale vs. externe synchrone Datenverarbeitung

Bis der zweite Zyklus beginnt (J in Abbildung 5.2), sind die verarbeiteten Daten aus dem ersten Zyklus zurückgekehrt. Die Zeit zwischen den Ereignissen M und N ist nicht mehr proportional zum für die Datenverarbeitung tatsächlich benötigten Zeitaufwand, sondern lediglich zu der Zeit, die für das Senden und Empfangen der Daten benötigt wird. Tabelle B zeigt die gemessenen Zeiten.

puffergrösse	pufferzeit (ms)	rtTime (ms)	pTime (ms)	tTime (ms)	% von puffer- zeit
64	1.451247	0.031683	0.015633	0.016050	2.18
96	2.176870	0.046585	0.016076	0.030509	2.14
128	2.902494	0.034745	0.016712	0.018032	1.19
192	4.353741	0.052279	0.018800	0.033478	1.20
256	5.804988	0.065752	0.019646	0.046105	1.13
512	11.60997	0.062939	0.019708	0.043230	0.54

Tabelle 5.2: Für asynchrone Datenverarbeitung gemessene Zeiten

In der obigen Tabelle entspricht „rtTime“ nicht mehr der tatsächlichen Gesamtverarbeitungszeit. Da die Daten zum Zeitpunkt des Interrupts bereits vorhanden sind, kann das Plug-in diese Daten sofort zurückzugeben. Dies geht auf Kosten der Latenzzeit, welche jetzt genau einem Interrupt-Zyklus entspricht. Der Benutzer kann die Puffergröße des Audiosystems so einstellen, dass dies weit unter der 10ms-Grenze ist, ohne dass mehr als 1,2 % der Bearbeitungszeit verwendet wird.

Das asynchrone Verfahren bringt einen echten Nutzen für die verteilte Verarbeitung in Bezug auf die Belastung der CPU. Der Preis ist jedoch eine Erhöhung der Latenzzeit des Plug-ins. Verarbeitete Audiodaten sind immer um einen Puffer-Zyklus verzögert. Ein weiterer Nachteil ist, dass, wenn mehrere dezentrale Prozessoren in einer Reihe verkettet sind, wie dies in der Demo-Anwendung der Fall ist, die Latenzzeit dann kumulativ ist. Dies resultiert in einer Gesamtlatenz, d.h. der mit der Anzahl der Prozessoren im Plug-in multiplizierten Gesamtwertzeit.

### 5.1.3 Mögliche Optimierungen

Es gibt zwei Bereiche, in denen unnötige Operationen durchgeführt werden, die optimiert werden könnten. Der erste ist die Serialisierung und Deserialisierung von Daten, wenn sie vom SBC-Gerät zurückgegeben werden. Sind im Plug-in mehrere Prozesse nacheinander verkettet, wird die zurückgesandte DiauproMessage zwischen jedem Prozessschritt unnötig deserialisiert und reserialisiert. Dies wäre eine relativ einfach zu implementierende Optimierung.

Die zweite Optimierung ist ähnlich, aber komplizierter zu implementieren. In einer Kette nacheinander geschalteter Prozessen müssten die Daten nicht nach jedem Schritt an das Master-Plug-in zurückgeschickt werden, sondern direkt an den nächsten Knoten. Wenn sich der nächste Knoten auf dem gleichen SBC-Gerät befindet, wird ein zusätzlicher Schritt über Ethernet eingespart. Außerdem könnten auch die Serialisierungsschritte zwischen den Knoten übersprungen werden, wenn die Knoten ihre Berechnungen direkt auf den Daten in dem DiauproMessage ausführen. Hierzu müsste die DiauproMessage erweitert werden, um Routing-Informationen zu erfassen, so dass jeder Rechenknoten weiß, wohin die Daten als nächstes geschickt werden müssen.

Obwohl komplexer, hat die zweite Optimierung den zusätzlichen Vorteil, dass die Latenzzeit sich nicht um ein Vielfaches der vollen Zykluszeit zwischen Interrupt-Aufrufe multipliziert. Die endgültigen Daten könnten nach einem einzigen Interrupt-Zyklus zurückgegeben werden.

## 5.2 Zusammenfassung

Die asynchrone Umsetzung bietet deutliches Potenzial. Die Latenz scheint der von kommerziellen DSP-basierten Systemen zu entsprechen [6]. Dies ist interessant, da es zeigt, dass der DSP und die SBC-basierten Systeme die gleichen Limitierungen teilen, die nicht einfach durch einfaches Hinzufügen von mehr Re-



chenleistung überwunden werden. Die wirkliche Barriere besteht im schnellstmöglichen Datentransport, ohne dabei den Audio-Thread zu blockieren. Ob der Audio-Thread 10 % oder 30 % der Zeit blockiert wird, ist irrelevant. Entscheidet man sich für ein asynchrones Verfahren, das einen vollen Zyklus des Audiog-Threads überspringt, besteht keine Notwendigkeit, ihn zu blockieren. Der Unterschied in der Bandbreite zwischen Thunderbolt-, PCIe- oder Gigabit-Ethernet-Schnittstellen hat nur Auswirkungen auf die mögliche Anzahl laufender Plug-ins, aber nicht deren Latenz.

Dies ist ermutigend, insbesondere unter Berücksichtigung der Erweiterbarkeit des SBC-basiertes Systems, und der Kompatibilität der Codebasis. Zwei entscheidende Vorteile, die das SBC-System gegenüber DSP-basierten Systemen hat.

# Literaturverzeichnis

- [1] Nicolas Bouillot, Elizabeth Cohen, Jeremy R. Cooperstock, Andreas Floros, Nuno Fonseca, Richard Foss, Michael Goodman, John Grant, Kevin Gross, Steven Harris, Brent Harshbarger, Joffrey Heyraud, Lars Jonsson, John Narus, Michael Page, Tom Snook, Atau Tanaka, Justin Trieger, and Umberto Zanghieri. Aes white paper: Best practices in network audio. *J. Audio Eng. Soc.*, 57(9):729–741, 2009.
- [2] Eli Brandt and Roger B Dannenberg. Low-latency music software using off-the-shelf operating systems. 1998.
- [3] Wolfgang Fohl and Julia Dessecker. Realtime computation of a vst audio effect plugin on the graphics processor. In *CONTENT 2011, The Third International Conference on Creative Content Technologies.*, pages 58–62, 2011.
- [4] Vincent Goudard and Remy Muller. Real-time audio plugin architectures, a comparative study. pages 10, 22, 9 2003.
- [5] AES Standards Committee Gross, Kevin. *AES standard for audio applications of networks - High-performance streaming audio-over-IP interoperability*. Audio Engineering Society, Inc., 60 East 42nd Street, New York, NY., US., 2013.
- [6] Hugh Robjohns. Review : Universal audio apollo, 2012. [Online; accessed 06-August-2015].
- [7] Vesa Välimäki and Antti Huovilainen. Oscillator and filter algorithms for virtual analog synthesis. *Computer Music Journal*, 30(2):pp. 19–31, 2006.
- [8] Wikipedia. Virtual studio technology — Wikipedia, the free encyclopedia, 2015. [Online; accessed 05-August-2015].

# Kapitel 6

## Appendix

### 6.1 Compiling the Source Code

#### 6.1.1 Download and Build the DiauproPlugin on OSX

Download the JUCE Library:

```
> cd $HOME
> git clone https://github.com/julianstorer/JUCE.git
```

Download and install the DrowAudio Juce Module Extensions:

```
> cd $HOME/JUCE/modules/
> git clone github.com/drowaudio/drowaudio.git
```

Install the VST SDK Library:

```
> cd $HOME/
> mkdir SDKs
> cd SDKs/
> curl -O http://www.steinberg.net/sdk_downloads/vstsdk365_28_08_2015_build_66.zip
> unzip vstsdk365_28_08_2015_build_66.zip
```

Download the DiauproProject:

```
> cd $HOME/Documents
> git clone https://github.com/alexgustafson/DiauproProject.git
```

open the xCode Project File located "DiauproProject/DiauproPlugin/Builds/-MaxOSX/DiauproPlugin.xcodeproj" directory and build the project in the xCode IDE.

#### 6.1.2 Download and Build the DiauproProject AudioProcessorNode on Ubuntu

Download the JUCE Library:

```
> cd $HOME
> git clone https://github.com/julianstorer/JUCE.git
```

Install JUCE requirements on Linux:

```
sudo apt-get -y install g++
sudo apt-get -y install libfreetype6-dev
sudo apt-get -y install libx11-dev
sudo apt-get -y install libxinerama-dev
sudo apt-get -y install libxrandr-dev
sudo apt-get -y install libxcursor-dev
sudo apt-get -y install mesa-common-dev
sudo apt-get -y install libasound2-dev
sudo apt-get -y install freeglut3-dev
sudo apt-get -y install libxcomposite-dev
```

Build on Linux:

```
> cd $HOME/Documents/
> git clone https://github.com/alexgustafson/Diauproject.git
> cd Diauproject/AudioProcessorNode/Build/LinuxMakeFile/
> make CONFIG=Release
```

### 6.1.3 Install Avahi with Bonjour Compatibility Mode on Ubuntu

Install the Avahi requirements:

```
sudo apt-get install intltool
sudo apt-get install libperl-dev
sudo apt-get install libgtk2.0-dev
sudo apt-get install libgtk3.0-dev
sudo apt-get install libgdbm-dev
sudo apt-get install libdaemon-dev
```

Download Avahi:

```
> curl -O http://www.avahi.org/download/avahi-0.6.31.tar.gz
> tar -xvzf avahi-0.6.31.tar.gz
> cd avahi-0.6.31/
```

Configure and Install Avahi:

```
> ./configure --prefix=/usr --enable-compat-libdns_sd --sysconfdir=/etc --
localstatedir=/var --disable-static --disable-mono --disable-monodoc --disable-python
--disable-qt3 --disable-qt4 --disable-gtk --disable-gtk3 --enable-core-docs --with-
distro=none --with-systemdsystemunitdir=no
> make
> sudo make install
```

## 6.2 Evaluated Frameworks

WDL : <http://www.cockos.com/wdl/> ( +iplug library )

Juce : <http://www.juce.com>

Open Frameworks : <http://openframeworks.cc>

Boost : <http://www.boost.org>

Cinder : <http://libcinder.org>  
LibSourcey : <http://sourcey.com/libsourcey/>  
Qt : <http://www.qt.io>